



IRANIAN SOCIETY of
CRYSTALLOGRAPHY
and MINERALOGY

Vol. 17, No. 2, Summer 1388/2009

IRANIAN JOURNAL of
CRYSTALLOGRAPHY
and MINERALOGY

Lithologic sequence and geochemical characteristics of Second phase of Paleogene volcanic rocks in Deylaman area, Western Alborz

S. Taki¹, A. Darvishzadeh², M. Ghaderi³, Kh. Khosrow Tehrani¹

1- Department of Geology, Science & Research Branch, Islamic Azad University, Tehran (IAU)

2- Department of Mining and Geology, Lahijan Branch, Islamic Azad University, (IAU)

3- Department of Geology, Tarbiat Modares University, Tehran, Iran.

Email: Taki_Saeed2002@yahoo.com

(Received: 14/10/2008, in revised form: 29/1/2009)

Abstract: Deylaman area lies on Paleogene volcanic rocks in Western Alborz near the border between Central and Western Alborz structural zones. The succession of Paleogene rocks in the area is comprised of three separate phases each of which representing one stage of volcanic events. The main purpose of this paper is to study the lithologic sequence and geochemical characteristics of phase two volcanic rocks with Oligocene age (?). Rocks from the second phase are made of three separate parts (subunits) which by the order of age from the oldest to the youngest are; subunit one: basalts and basaltic andesite lavas, subunit two: coarse and fine grained tuffs and volcanic breccia, subunit three: andesitic tuffs with andesitic lenses. Geochemical studies on major and trace elements of lavas show that these rocks have calc-alkaline characteristic of volcanic arcs. Meanwhile, there are some similarities between REE patterns, for example LREE are more enriched, HREE have flat patterns as well as Eu negative anomalies. Therefore, the magmas of these rocks formed from a garnet-free but feldspar-bearing source. Immobile trace element data such as Cr and Th confirm their volcanic arc origin.

Keywords: Lithology, geochemistry, volcanic, Paleogene, Deylaman, Alborz.



توالی سنگ‌شناسی و ویژگی‌های ژئوشیمیائی سنگ‌های آتشفسانی فاز دوی پالئوزن در منطقه دیلمان، البرز باختری

سعید تاکی^۱، علی درویش‌زاده^۲، مجید قادری^۳، خسرو خسرو‌تهرانی^۱

۱- گروه زمین‌شناسی، دانشگاه آزاد اسلامی، واحد علوم و تحقیقات، تهران

۲- گروه زمین‌شناسی و معدن، دانشگاه آزاد اسلامی، واحد لاهیجان

۳- بخش زمین‌شناسی، دانشگاه تربیت مدرس، تهران

پست الکترونیکی: Taki_Saeed2002@yahoo.com

(دریافت مقاله: ۸۷/۷/۲۳، نسخه نهایی: ۸۷/۱۰/۹)

چکیده: منطقه دیلمان در البرز باختری و در نزدیکی مرز بین زون‌های ساختاری البرز مرکزی و باختری روی سنگ‌های آتشفسانی پالئوزن قرار دارد. توالی پالئوزن در این ناحیه شامل سه فاز جداگانه است که هر کدام یک مرحله از فعالیت‌های آتشفسانی را به نمایش می‌گذارد. هدف اصلی این کار پژوهشی، بررسی توالی سنگ‌شناسی و ویژگی‌های ژئوشیمیائی سنگ‌های آتشفسانی فاز دو با سن احتمالی الیگوسن است. سنگ‌های فاز دو در این ناحیه خود از سه بخش (زیروحد) مجزا تشکیل شده است که از قدیمی ترین به جدیدترین عبارتند از: زیروحد یک: گدازه‌های بازالتی و آندزیت بازالتی، زیروحد دو: توف‌های درشت دانه و ریز دانه و برش آتشفسانی، زیروحد سه: توف‌های آندزیتی همراه با عدسی‌های آندزیتی. بررسی‌های ژئوشیمیائی عناصر اصلی و کمیاب گدازه‌ها نشان می‌دهد که این سنگ‌ها در قلمرو کالکوآلکالن قرار می‌گیرند که بیشتر شاخص قوس‌های آتشفسانی هستند. در عین حال، شباهت‌هایی میان الگوهای REE آن‌ها وجود دارد، از جمله این که همه آن‌ها از نظر LREE‌ها بسیار غنی‌شده‌ترند و HREE‌ها نیز الگوهای تخت را به نمایش می‌گذارند، بی هنجاری منفی Eu نیز در همه الگوها مشترک است. بنابراین ماغماهای تشکیل‌دهنده این سنگ‌ها از یک خاستگاه مشترک فاقد گارنت ولی حاوی فلدسپات سرچشم‌گرفته‌اند. داده‌های وابسته به عناصر کمیاب غیر متحرک مانند Cr و Th نیز وابستگی آن‌ها را به قوس‌های آتشفسانی تأیید می‌کند.

واژه‌های کلیدی: سنگ‌شناسی، ژئوشیمی، آتشفسانی، پالئوزن، دیلمان، البرز.

پالئوزوئیک تا عهد حاضر است، ولی بیشترین گسترش به سنگ‌های پالئوزن مربوط می‌شود. هدف اصلی این کار پژوهشی بررسی بخشی از سنگ‌های آتشفسانی پالئوزن است. آنلز و همکاران [۲] درباله پالئوزن در چارگوش قزوین - رشت را در سه فاز جداگانه جای داده‌اند (جدول ۱). هر یک از فازهای یاد شده نیز مجموعه‌ای از لیتولوژی‌های متعدد و جدایی هستند که یک مرحله از فعالیت‌های آتشفسانی را نشان

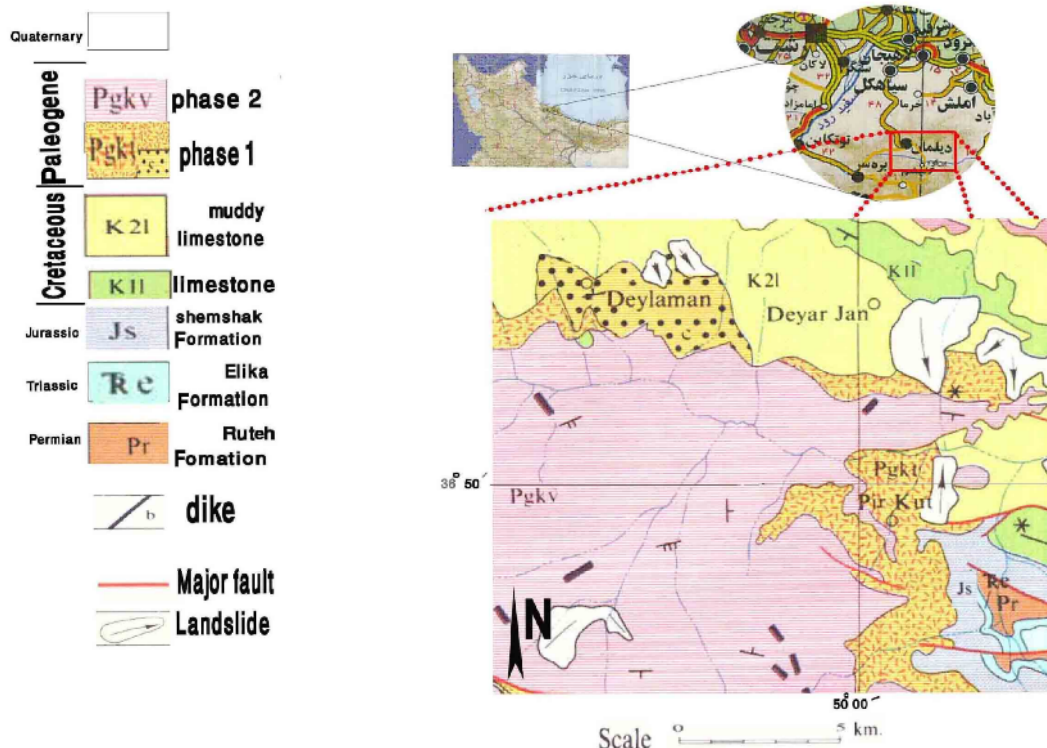
مقدمه

منطقه دیلمان در رشته‌کوه‌های البرز در استان گیلان و تقریباً در حدود ۶۵ کیلومتری جنوب رشت و بین طول‌های ۴۹° ، ۵۳° ، ۴۹° ، ۵۰° خاوری و عرض‌های ۴۷° ، ۳۶° ، ۳۶° ، ۳۶° شمالی با مساحت تقریبی ۲۴۰ کیلومتر مربع واقع شده است (شکل ۱) و از نظر ساختاری در مرز البرز باختری و مرکزی قرار دارد [۱، ۲]. واحدهای سنگی رخنمون یافته در این منطقه شامل بر

در نواحی خاوری چارگوش زمین‌شناسی قزوین - رشت گهگاهی تدریجی است که در آنجا گدازه و توف به نسبت مساوی در یک منطقه تدریجی به ضخامت ۱۰۰ متر به صورت بین‌لایه‌ای ظاهر می‌شوند [۴].

نتایج به دست آمده از رسم مقاطع زمین‌شناسی و ستون‌های چینه‌شناسی (شکل ۲) حکایت از آن دارد که توالی فاز دوی گستره مورد بررسی در مکان‌هایی (مانند جنوب گرم‌اور و لرود، شکل ۲ مقاطع E و F) روی آهک‌های کرتاسه فوقانی قرار می‌گیرد، در حالی که در مکان‌های دیگر (مثل باخته تنگه‌رود، شکل ۲ مقاطع A) مستقیماً روی دنباله فاز یک می‌نشینند.

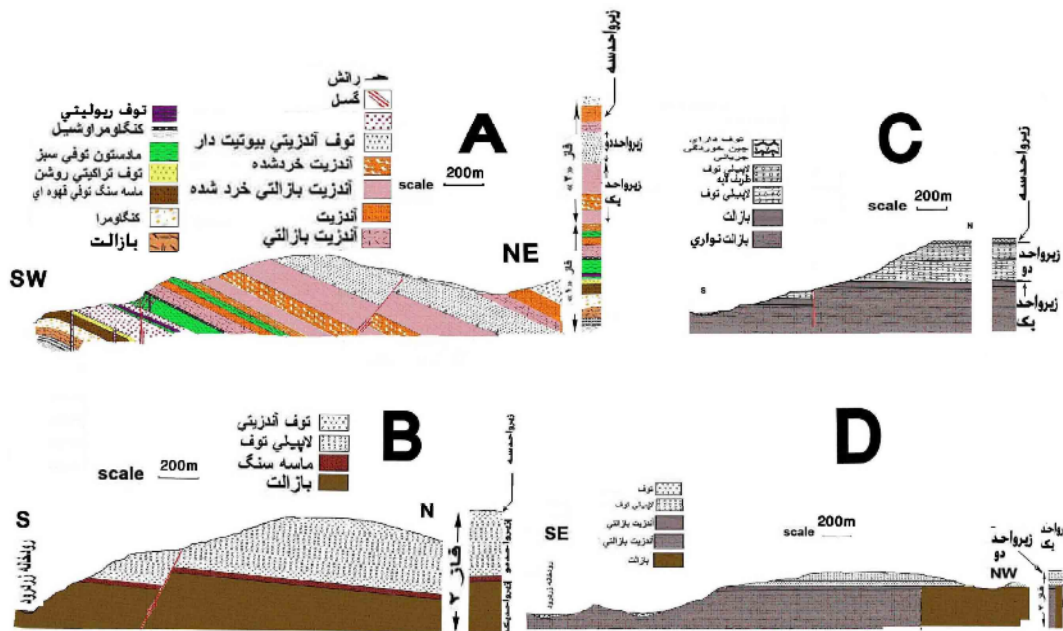
می‌دهند. این سه فاز، دستخوش تغییرات جانبی فراوانی شده اند. سنگ‌های فاز یک، بیشتر از توفها (و گدازه‌ها) آندزیتی و اسیدی و گل‌سنگ‌های توفی تشکیل شده‌اند که سن احتمالی اوسن [۳] را دارند و بخش بیشتر آن‌ها همسان سازند کرج است. سنگ‌های فاز دو و سه که احتمالاً وابسته به الیگوسن اند [۳]، به ترتیب از گدازه‌های بازی و گدازه‌های آندزیتی شیشه‌ای تشکیل شدند که در یک محیط خشکی (بدون آب) فوران کرده‌اند. در واقع، قاعده فاز دو به عنوان ترازی شناخته می‌شود که خروج گدازه‌های بازی و گدازه‌های آندزیتی خشکی جایگزین انبوه‌های دریائی توفهای فاز یک می‌شود. این تبدیل در بیشتر بخش‌های کمربند پالتوژن دیده می‌شود، ولی



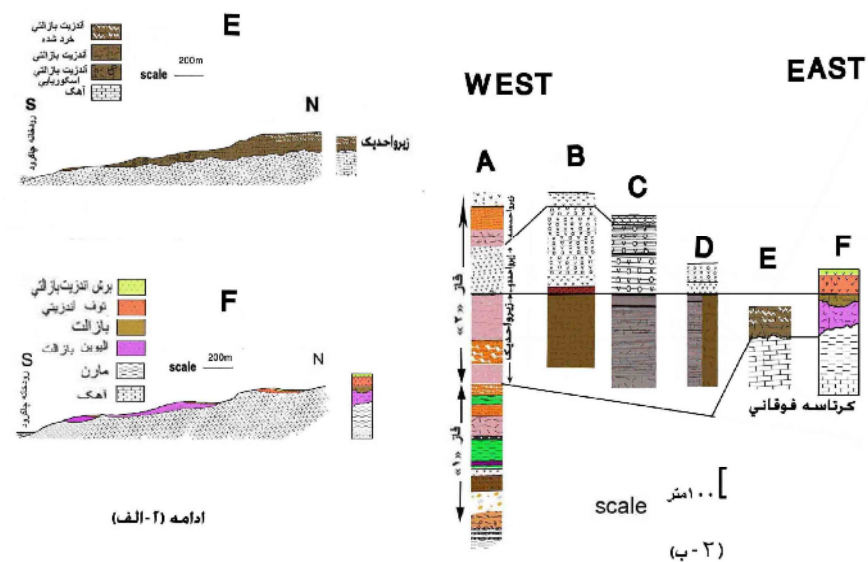
شکل ۱ موقعیت منطقه مورد بررسی و نقشه زمین‌شناسی آن [۳].

جدول ۱ فازهای پالتوژن زون البرز باخته بنا بر تقسیم‌بندی آنلز و همکاران [۳].

لیتولوژی غالب	فاز	سن
بیشتر گدازه‌های آندزیتی شیشه‌ای	۳	
بیشتر گدازه‌های بازیک	۲	بیشتر الیگوسن؟
بیشتر توفهای آندزیتی و اسیدی و گل‌سنگ‌های توفی	۱	بیشتر اوسن؟



شکل ۲ (الف) مقاطع زمین‌شناسی و ستون‌های چینه‌شناسی فاز دوی پالئوزن وابسته به (A) باخته تنگه‌رود، (B) یک کیلومتری خاور زرد رود، (C) جنوب گلک، (D) جنوب کارخانه سیمان، (E) جنوب خاوری گرماآور، (F) جنوب لرود، ب) تغییرات ضخامت و جنس دنباله زیرواحدهای فاز دو در طول منطقه مورد بررسی از باخته به خاور (برای تشخیص علائم و نشانه‌های به کار رفته به راهنمای شکل ۲-الف مراجعه کنید.



راهنمای شکل ۲

زیروحد سه: فوران توف‌های آندزیتی همراه با گدازه‌های آندزیتی
زیروحد یک: زیروحد یک که قدیمی‌ترین سنگ‌ها در فاز دو تشکیل می‌دهند، غالباً از گدازه‌های بازالتی و آندزیت بازالتی تشکیل شده‌اند. ضخامت و ترکیب این زیروحد در مکان‌های مختلف متغیر است، به نحوی که ضخامت آن در بخش باخته

مشاهدهات صحرائی نشان می‌دهد که مجموعه سنگ‌های فاز دو در منطقه مورد بررسی، خود حداقل از سه زیروحد تشکیل شده است:

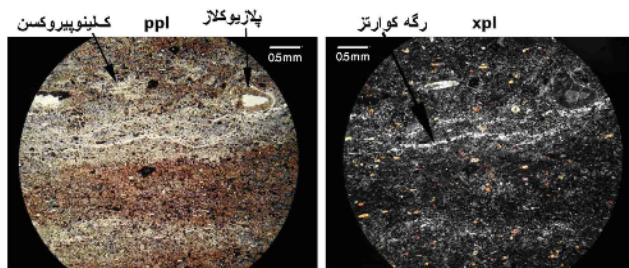
زیروحد یک: فوران گدازه‌های بازالتی و آندزیت بازالتی
زیروحد دو: فوران لایه‌لایه توف‌های چند گن و توف‌های آندزیتی

شده است. در بخش زیرین این زیرواحد گاهی چند لایه ماسه‌سنگی و کنگلومرائی به رنگ سرخ متمایل به بنفش دیده می‌شوند. ضخامت این زیرواحد در حدود ۳۰۰ متر است.

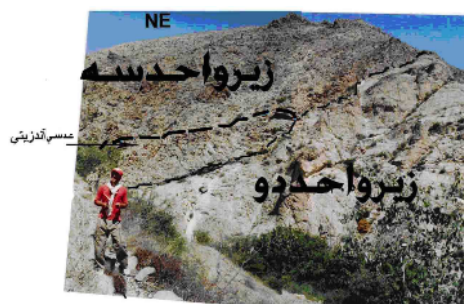
زیرواحد سه: این زیر واحد از لحاظ دانه بندی همانند زیرواحد دو است. زیرواحد یاد شده غالباً از توفهای آندزیتی کوارتزدار با بافت اتاکسیتی، متمایل به سرخ تشکیل شده است. درون این زیرواحد، گدازه‌هایی از جنس آندزیت به صورت عدسی مانند دیده می‌شود. زیرواحد سه با یک مرز بسیار روشنی روی زیرواحد دو قرار می‌گیرد (شکل ۴). از ویژگی‌های این زیرواحد، چین خوردگی‌های جریانی (شکل ۵) در آن است که در واقع نشانگر نوعی دگردیسی (Rheomorphism) حاصل از روانی آن به هنگام جدایش و خروج گازهای محبوس در میان ذرات خاکستر ناپیوسته است [۵، ۶].

منطقه (شمال تنگه‌رود) بیشینه و به حدود ۳۰۰ متر می‌رسد (شکل ۲ مقطع A)، در حالی که در بخش خاوری (جنوب لرود) ضخامت تنها چند متر (حداکثر ۱۰ متر) است. در سمت خاوری، این گدازه‌ها بیشتر اسکوریایی می‌شوند. جریان‌های گدازه‌ای منفرد غالباً بین ۳ تا حدود ۵۰ متر ضخامت دارند و گاهی با افق‌های نازک خاک‌های قدیمی از هم تفکیک می‌شوند. بیشتر این جریان‌ها در بخش پائین خود حفره‌دار بوده و با لایه‌بندی ظرفی دیده می‌شوند که در واقع نشانگر نوعی جریان رگه‌ای (laminar flow) است (شکل ۳).

زیرواحد دو: زیرواحد دو که نسبت به دو زیرواحد دیگر بیشترین گسترش را دارد، غالباً از توفهای لایبلی نسبتاً درشت دانه و برش آتشفشانی همراه با توفهای آندزیتی دارای بافت اتاکسیتی و به مقدار بسیار کمتر نیز گدازه‌های آندزیتی تشکیل



شکل ۳ تصویر میکروسکوپی بازالت نواری در ppl و xpl



شکل ۴ برخوردگاه زیرواحد سه (بالا) و زیرواحد دو (پائین). نزدیک برخوردگاه عدسی‌های آندزیتی در زیرواحد سه دیده می‌شود (آبراهه جنوب میکال، دید به سمت خاور - شمال خاوری).



شکل ۵ چین خوردگی‌های جریانی (flow folding) موجود در بخش فوقانی زیر واحد سه.

ترمی سنگ‌های یاد شده مشخص شده و از طرفی دیگر تقدم و تأخیر آن‌ها روش شود. این گونه نمونه‌برداری در مسیرهای یاد شده منجر به رسم نیمرخ و روش شدن ستون چینه‌شناسی شد. به دنبال نمونه‌برداری در مرحله عملیات صحرائی از نمونه‌ها مقطع نازک میکروسکوپی تهیه شد. پس از بررسی سنگ‌شناختی مقاطع نازک، ده نمونه با کمترین دگرسانی برای تجزیه شیمیائی انتخاب و به آزمایشگاه ALS-Chemex کانادا فرستاده شدند. تجزیه‌ها به روش ICP-AES برای عناصر اصلی و ICP-MS برای عناصر کمیاب صورت پذیرفت (جدول ۲).

روش کار

برای دستیابی به هدفهای این کار پژوهشی سنگ‌های آتشفشاری فاز دوی پالئوزن، در سه مرحله کتابخانه‌ای، عملیات صحرائی و آزمایشگاهی مورد بررسی‌های ژئوشیمیایی قرار گرفتند. از آنجا که بخش مهمی از سنگ‌های منطقه، واحدهای آذرآواری دارای لایه‌بندی مشخص است (که به صورت بین چینه‌ای با گدازهای مختلف همراهند)، لذا در عملیات صحرائی سعی شد تا نمونه‌برداری‌ها در مسیرهای مستقیم از محلهای مختلف به گونه‌ای انجام شود تا در راستاهای مختلف عمود بر راستای لایه‌ها و لایه‌بندی باشد تا از یک طرف تنوع

جدول ۲ نتایج تجزیه شیمیائی اکسیدهای عناصر اصلی (بر حسب درصد) و عناصر کمیاب (بر حسب ppm) سنگ‌های آتشفشاری فاز دو پالئوزن منطقه دیلمان.

	D ₃₂₇	D ₃₁₂	D ₃₀₆	D ₂₅₈	D ₂₅₇	D ₁₈₈	D ₁₆₈	D ₀₀₁	D ₁₀₀
SiO₂	۵۴,۳	۵۱,۲	۵۱,۵	۵۰,۰	۵۰,۷	۵۵,۵	۴۵,۰	۵۵,۶	۴۶,۶
Al₂O₃	۱۴,۵۵	۱۷,۲۵	۱۶,۴۵	۱۷,۱۵	۱۶,۹۵	۱۵,۳	۱۶,۱۵	۱۵,۳	۱۱,۵۵
Fe₂O₃	۱,۴۳	۱,۵۳	۱,۵۹	۱,۷	۱,۷۵	۱,۱۸	۲,۱۳	۱,۴۷	۱,۷۲
FeO	۶,۱۵	۶,۷۴	۷,۱۱	۷,۴۶	۷,۷۴	۵,۳۵	۸,۵۶	۶,۳۸	۷,۸۱
CaO	۸,۱۳	۷,۵۷	۶,۶۴	۹,۲۵	۹,۲۹	۷,۸۷	۹,۱۶	۷,۵۶	۱۲,۹
MgO	۴,۴۷	۴,۱۱	۳,۸۲	۵,۰۰	۴,۴۶	۴,۸	۵,۹۸	۴,۰۰	۱۰,۶۵
Na₂O	۳,۰۰	۳,۹۱	۳,۴۹	۲,۹۱	۳,۰۱	۳,۰۲	۲,۸۹	۲,۸۸	۱,۸۴
K₂O	۲,۷۹	۲,۶۱	۱,۷۸	۱,۱۸	۱,۲۱	۱,۴۷	۱,۴۹	۲,۱۶	۱,۱۹
TiO₂	۱,۲۶	۱,۱۸	۱,۱۱	۱,۳۵	۱,۳۴	۰,۷۴	۲,۵۶	۱,۲۶	۱,۴
P₂O₅	۰,۲۸	۰,۳۹	۰,۲۲	۰,۲۲	۰,۲۲	۰,۲۲	۰,۹۹	۰,۲۰	۰,۲۱
LOI	۲,۰۵	۰,۶۵	۳,۷۹	۲,۰۸	۲,۱۱	۳,۸۳	۳,۵۳	۲,۲۵	۳,۰۸
La	۲۱,۶	۳۴,۸	۲۷,۹	۲۱,۱	۱۸,۰	۲۲,۳	۴۷,۰	۲۳,۰	۱۴,۸
Ce	۴۴,۴	۶۷,۹	۵۴,۵	۴۲,۴	۳۷,۴	۴۱,۰	۹۳,۶	۴۵,۰	۳۰,۸
Pr	۵,۸۷	۸,۶۴	۷,۰۷	۵,۳۴	۴,۹۷	۴,۶۹	۱۱,۲۵	۵,۴۸	۴,۱۲
Nd	۲۱,۴	۳۱,۹	۲۶,۷	۲۲,۵	۱۹,۷	۱۸,۴	۴۵,۰	۲۲,۰	۱۸,۴
Sm	۴,۰۷	۶,۰۲	۵,۷۱	۵,۰۱	۴,۵۰	۳,۶۷	۸,۲۶	۴,۷۵	۴,۲۵
Eu	۱,۲۵	۱,۸۴	۱,۷۳	۱,۴۱	۱,۴۱	۱,۱۱	۲,۵۹	۱,۲۵	۱,۲۲
Gd	۴,۱۷	۶,۰۶	۶,۰۰	۴,۹۳	۴,۶۹	۳,۸۸	۷,۹۸	۴,۷۵	۴,۱۶
Tb	۰,۶۸	۰,۸۶	۰,۹۴	۰,۷۶	۰,۷۹	۰,۵۹	۱,۰۶	۰,۷۸	۰,۶۱
Dy	۳,۳۴	۴,۱۳	۵,۱۱	۴,۴۰	۴,۲۸	۳,۳۱	۵,۱۲	۴,۵۳	۳,۳۳
Ho	۰,۶۹	۰,۸۴	۱,۰۶	۰,۹۱	۰,۹۰	۰,۶۹	۱,۰۱	۰,۹۶	۰,۶۶
Er	۱,۸۴	۲,۲۷	۲,۸۳	۲,۶۵	۲,۳۵	۲,۱۲	۲,۷۲	۲,۸	۱,۸۵
Tm	۰,۲۷	۰,۳۳	۰,۴۲	۰,۳۶	۰,۳۶	۰,۳۰	۰,۳۵	۰,۴۰	۰,۲۵
Yb	۱,۶۸	۲,۰۳	۲,۰۴	۲,۳۷	۲,۲	۱,۹۹	۲,۱۸	۲,۶۲	۱,۶۱
Lu	۰,۲۸	۰,۳۲	۰,۴۱	۰,۳۳	۰,۳۴	۰,۳۰	۰,۳۱	۰,۴۰	۰,۲۳
Zr	۱۴۶	۱۹۶	۲۲۹	۱۲۲	۱۱۵	۱۲۲	۲۴۲	۱۸۴	۸۲
Y	۱۸,۳	۲۲,۱	۲۷,۶	۲۳,۱	۲۲,۹	۱۸,۷	۲۴,۷	۲۵,۱	۱۶,۹
Th	۴,۸۲	۹,۸۴	۶,۰۵	۴,۴۴	۴,۰۲	۶,۵۰	۴,۱۱	۶,۵۵	۲,۴۲
Cr	۱۶۰	۱۰	۶۰	۱۰۰	۵۰	۱۸۰	۱۱۰	۱۰۰	۶۸۰
Hf	۴,۱	۴,۹	۵,۶	۲,۵	۳,۲	۳,۱	۵,۲	۵,۲	۲,۳

مشاهده است (شکل ۶). در زیر میکروسکوپ، بافت آن‌ها پورفیریتیک تا پورفیری میکرولیتی جهت‌یافته و گاهی نیز پوئی‌کیلیتیک و ساب‌افیتیک (شکل ۷) است. کانی‌های اصلی این سنگ‌ها، کلینوپیروکسن، پلازیوکلاز و الیوین؛ کانی فرعی مگنتیت و کانی‌های ثانویه عبارتند از کلریت، گوئتیت، هماتیت و زئولیت. فنوکریست‌های این سنگ‌ها غالباً الیوین، کلینوپیروکسن و به مقدار بسیار کمی نیز پلازیوکلازند که در خمیره‌ای از میکرولیت‌های پلازیوکلاز، میکرو بلورهای کلینوپیروکسن و مگنتیت قرار گرفته‌اند.

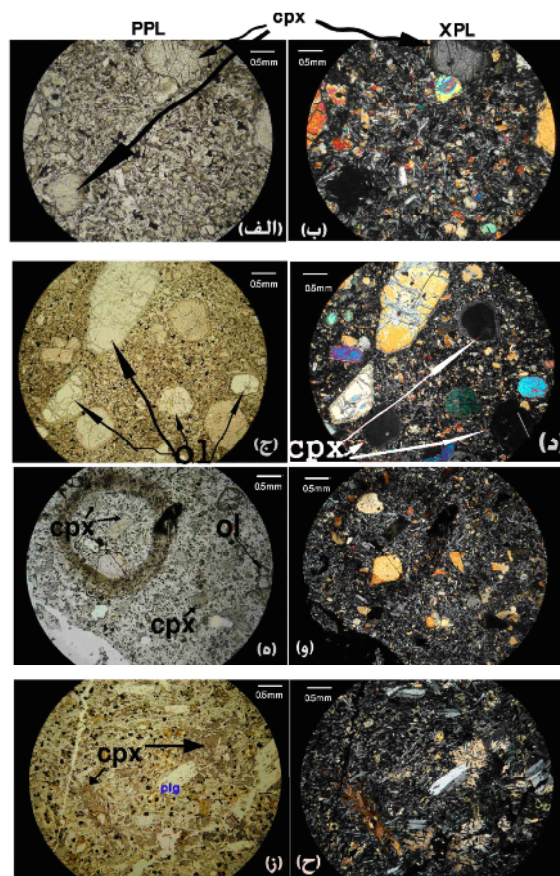


شکل ۶ ساخت منشوری در بازالت‌های وابسته به فاز دوی پالتوژن منطقه مورد بررسی.

سنگ شناختی

بررسی‌های میکروسکوپی سنگ‌های آتشفشانی فاز دو پالتوژن حکایت از آن دارد که غالب گدازه‌های این فاز، بازالت و آندزیت بازالتی‌اند، در حالی که توفها که غالباً آندزیتی هستند که به شرح زیرند.

(الف) بازالت: گدازه‌های بازالتی در دنباله فاز دو در پائین‌ترین بخش زیر واحد یک قرار دارند. در نمونه دستی، رنگ آن‌ها سبز تیره (و حتی نسبتاً سیاه) بوده و ساخت پورفیریتیک تا نهان بلورین دارند. گاهی ساختهای منشوری نیز در آن‌ها قابل



شکل ۷ تصاویر میکروسکوپی بازالت‌ها، (الف، ب، ج، د) منطقه‌بندی هم مرکز در فنوکریستال‌های کلینوپیروکسن. حاشیه کلینوپیروکسن‌ها در نور عادی قهوه‌ای می‌شود (تیتان اوزیت). (ه و) وجود منطقه‌بندی قطاعی (sector zoning) در فنوکریستال‌های کلینوپیروکسن. (ج، ز) هم‌رشدی‌های افیتیک و ساب‌افیتیک مابین پلازیوکلاز و کلینوپیروکسن.

کانی‌های کدر، الیوین و زیرکن؛ و کانی‌های ثانویه شامل کلریت، اپیدوت و اکسید آهن‌اند. در همه این سنگ‌ها، پلازیوکلаз از لحاظ فراوانی بیشترین مقدار را به خود اختصاص داده و وجود کلینوپیروکسن نیز در همه مشترک است، ولی مقدار کلینوپیروکسن در نمونه‌های گوناگون آندزیت بازالتی متفاوت بوده و گاهی فقط به صورت فنوکریست دیده می‌شود. از ویژگی‌های مشترک دیگر همه آندزیت‌های بازالتی، وجود آمفیبول در آن‌ها است که بعضی آمفیبول‌ها کاملاً کدر شده اند بوده، در حالی که برخی دیگر فقط پیرامون کدر دارند. در بعضی از نمونه‌ها، طول آمفیبول‌ها به ۳ سانتیمتر نیز می‌رسد (شکل ۸-الف). مقدار سیلیس این دسته از سنگ‌ها بین ۵۰ تا ۵۵ درصد بوده و همه آن‌ها در نورم خود هیپرستن و کوارتز داشته و فاقد هر دو کانی الیوین و نفلین اند (غیر از نمونه D₃₁₂) (جدوال ۲ و ۳).

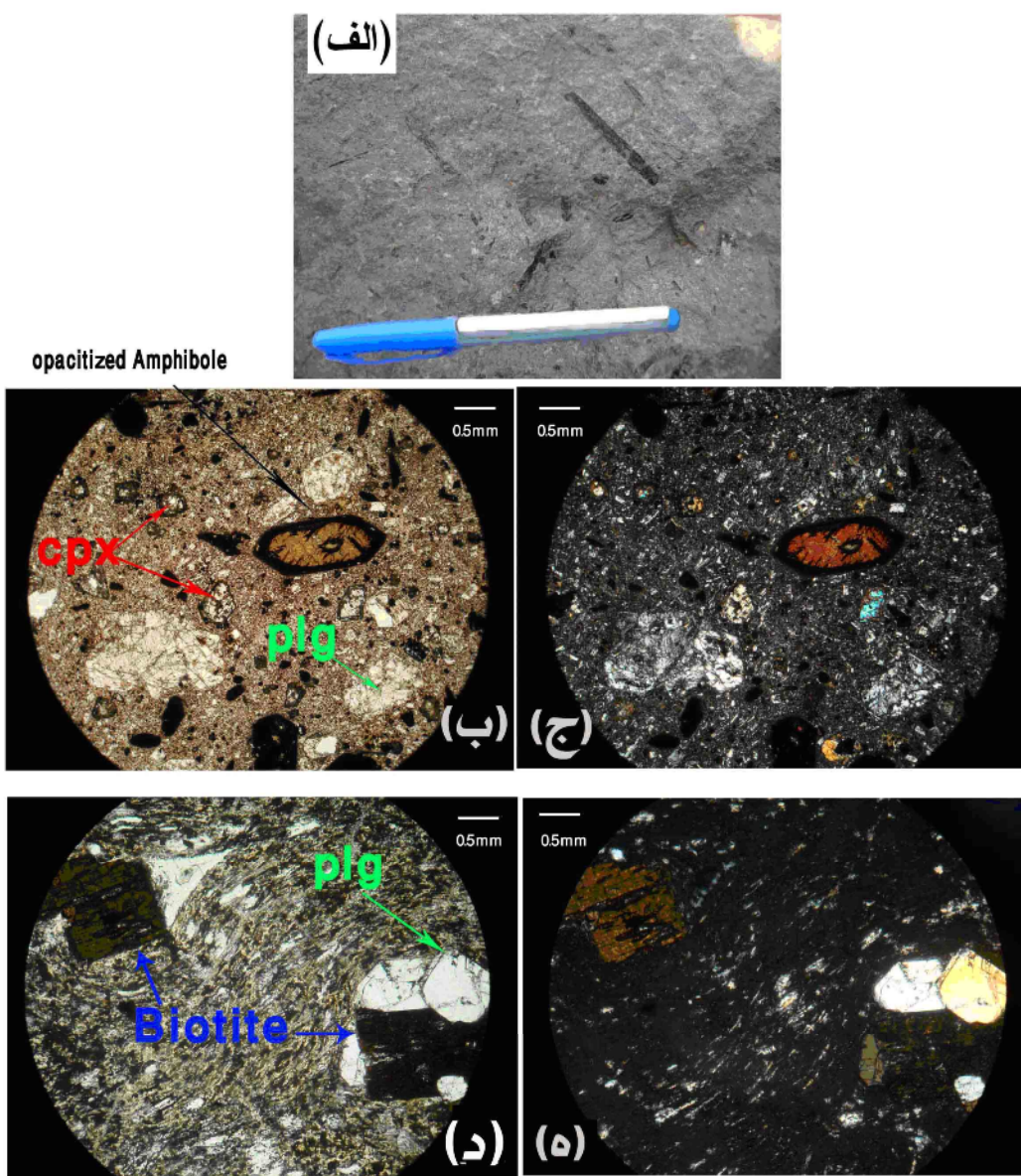
ج) توف آندزیتی: رنگ سطحی این توفها سفید یا خاکی و گاهی متمایل به سرخ است. بیوپیت نمایان‌ترین بلوری است که در نمونه دستی آن‌ها قابل مشاهده است. در زیر میکروسکوپ، بافت این سنگ‌ها پورفیروکلاستیک و اتاکسیتی بوده و در تقسیم‌بندی IUGS نوعی توف شیشه‌ای بلوری به شمار می‌رond. کانی اصلی این سنگ‌ها، پلازیوکلاز، کانی‌های فرعی بیوپیت و مگنتیت است. فنوکریست‌هایی از جنس پلازیوکلاز منطقه‌ای و بیوپیت همراه با مقادیر کمی میکروفونوکریست مگنتیت در خمیره‌ای مشکل از شیشه، میکرولیت‌های پلازیوکلاز و کانی‌های ریز نهان بلور قرار دارند (شکل ۸-د، ه).

الیوین‌ها غالباً در پیرامون دستخوش ایدنگسیتی (iddingsitization) شده‌اند. بنا به نظر دیر و همکاران [۷] فرایند ایدنگسیتی، یک تغییر و تبدیل پیوسته در ساختار الیوین است که در حالت جامد پدید می‌آید که در آن Fe³⁺، Mg و Si از بلور خارج و در عوض Ca و Al وارد شبکه می‌شوند. کلینوپیروکسن‌ها غالباً منطقه‌بندی مشخصی را نشان می‌دهند. این منطقه‌بندی به دو صورت ظاهر می‌شوند: (الف) هم مرکز (شکل ۷-ج، د) و (ب) قطاعی (شکل ۷-ه و). در نور PPL معمولاً فنوکریست‌های کلینوپیروکسنی که دارای XPL به هنگام خاموشی، رنگ‌های تداخلی غیرعادی (آبی و قهوه‌ای چرمی) به خود می‌گیرند (تیتان اوژیت) (شکل ۷-الف، ب). مقدار سیلیس این سنگ‌ها بین ۴۵ تا ۴۶٪ درصد بوده (نمونه‌های D₁₀₀ و D₁₆₈ در جدول ۲) و در نورم خود حاوی الیوین هستند. در نورم نمونه‌ای از این بازالت‌ها، نفلین و در دیگری هیپرستن دیده می‌شود (جدول ۳ نمونه‌های).

(ب) آندزیت بازالتی: گدازه‌های آندزیت بازالتی از لحاظ مکانی همراهی نسبتاً نزدیکی با بازالت‌ها دارند. رنگ آن‌ها نیز سیز نسبتاً روشن‌تر از بازالت‌هاست. ساخت آفانیتیک تا پورفیری داشته و بیشتر حفره‌ای و یا تا حدی بادامی هستند. زیر میکروسکوپ، بافت آن‌ها پورفیری میکرولیتی و جهت‌یافته (تراکیتی از نوع هیالوپلیتیک)، ریز پورفیریتیک تا ویتروفیری و گاهی نیز به صورت موضعی انبوه‌های فنوکریستی به صورت گلومروپورفیریتیک در آن‌ها مشهود است. کانی‌های اصلی شامل پلازیوکلاز و کلینوپیروکسن؛ کانی‌های فرعی، آمفیبول، بیوپیت،

جدول ۳ محاسبه نورم CIPW سنگ‌های آتشفسانی فاز دو پالئوزن منطقه دیلمان.

	Qz	Or	Ab	An	Di	Hy	Mt	Ilm	Ap	Ne	OI
D ₃₂₇	۳,۶۳	۱۷,۱۰	۲۶,۲۸	۱۸,۶۱	۱۷,۶۱	۱۱,۵۱	۲,۱۵	۲,۴۸	۰,۶۳	۰	۰
D ₃₁₂	۰	۱۵,۹۸	۳۳,۰۸	۲۲,۵۲	۱۱,۵۳	۰	۲,۳۰	۲,۳۲	۰,۸۸	۰,۶	۱۰,۷۸
D ₃₀₆	۲,۲۱	۱۱,۲۲	۳۱,۴۳	۲۲,۴۹	۶,۸۵	۱۷,۶	۲,۴۶	۲,۲۵	۰,۵۱	۰	۰
D ₂₅₈	۰,۲۶	۷,۲۴	۲۵,۵۲	۳۱,۳۵	۱۲,۲۹	۱۷,۵۶	۲,۵۶	۲,۶۶	۰,۵	۰	۰
D ₂₅₇	۱,۰۶	۷,۳۹	۲۶,۲۷	۳۰,۰۸	۱۳,۳۲	۱۶,۰۶	۲,۶۲	۲,۶۳	۰,۵	۰	۰
D ₁₈₈	۸,۶۷	۹,۱۰	۲۶,۷۱	۲۴,۹۲	۱۱,۹۱	۱۴,۹۳	۱,۷۹	۱,۴۷	۰,۵	۰	۰
D ₁₆₈	۰	۹,۲۷	۲۵,۶۹	۲۸,۰۳	۱۱,۱۶	۰,۱۲	۳,۲۵	۵,۱۲	۲,۲۷	۰	۱۵,۱۲
D ₀₀₁	۸,۲۶	۱۳,۱۸	۲۵,۱۱	۲۳,۱۱	۱۱,۸۴	۱۳,۳۸	۲,۲	۲,۴۷	۰,۴۵	۰	۰
D ₁₀₀	۰	۷,۳۶	۱۲,۳۸	۲۰,۶۰	۳۶,۲۸	۰	۲,۶۱	۲,۰۷	۰,۴۸	۲,۱	۱۶,۱۳



شکل ۸ (الف) تصویر ماکروسکوپی نمونه‌ای از آندزیت بازالتی، طول بعضی از آمفیبول‌ها به ۳ سانتیمتر نیز می‌رسد. ب و ج) تصاویر میکروسکوپی نمونه‌ای از آندزیت بازالتی. د ، ه) تصاویر میکروسکوپی توف آندزیتی با بافت اتاکسیتی.

برای تجزیه شیمیائی انتخاب شده‌اند، ولی برای اطمینان بیشتر از نتایج به دست آمده از عناصر اصلی، عناصر کمیاب که تحرک و غیرتحرک‌ها مانند Nb، Zr، V، P، Ti، Ni، Y و عناصر نادر خاکی (REE) و نسبت‌های عنصری که در طی فرآیندهای هوازدگی و دگرسانی تغییر چندانی نمی‌کند نیز به کار برده شدند.

بر اساس بررسی‌های نسبت Zr/Y در سری‌های توئیتی بین ۲ و ۴/۵، در سری تحولی ۴/۵ الی ۷ و در سری کالکوآلکالن بیش از ۷ است. بر پایه نسبت این دو عنصر، غالب

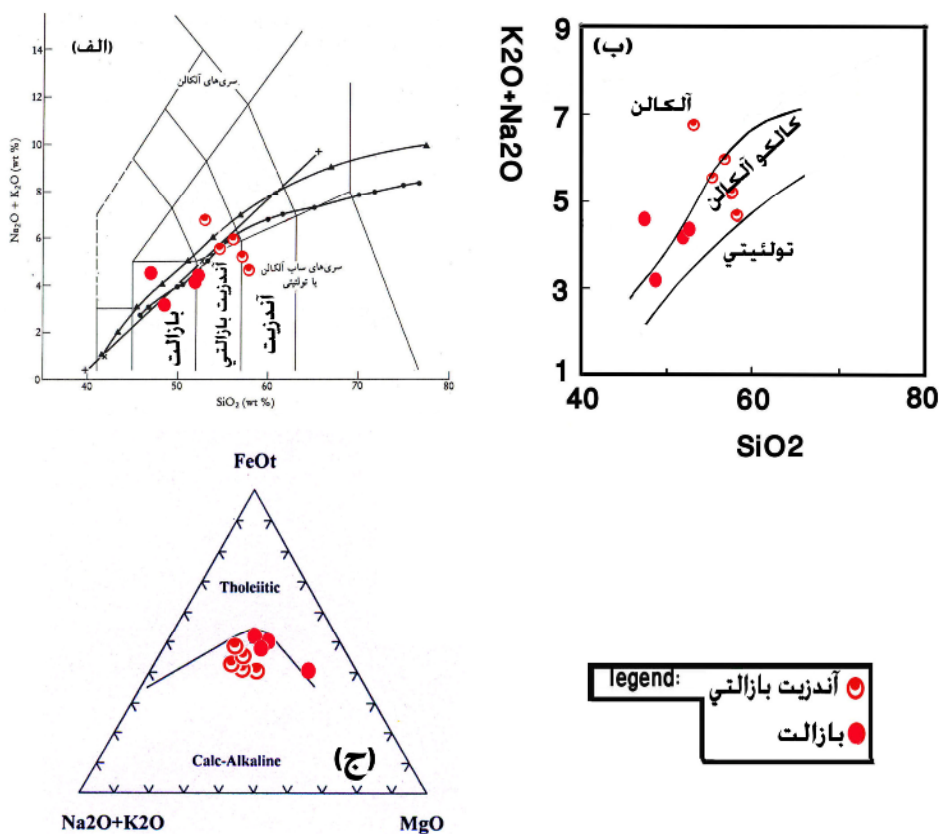
ژئوشیمی و محیط زمین شاختی
داده‌های شیمیائی عناصر اصلی روی نمودارهای مجموع آلکالی-سیلیس (TAS) براساس [۱۱-۸] و AFM براساس [۱۰] (شکل ۹-الف، ب، ج) حکایت از آن دارد که این سنگ‌ها از نوع ساب آلکالن و غالباً کالکوآلکالن هستند.

سنگ‌های پالئوزن در منطقه مورد بررسی با نفوذی‌های متعدد قطع شده‌اند. همین امر سبب شده است که برخی از آن‌ها دستخوش دگرسانی نیز بشوند. هر چند که از میان نمونه‌های برداشت شده، نمونه‌های دارای کمترین دگرسانی

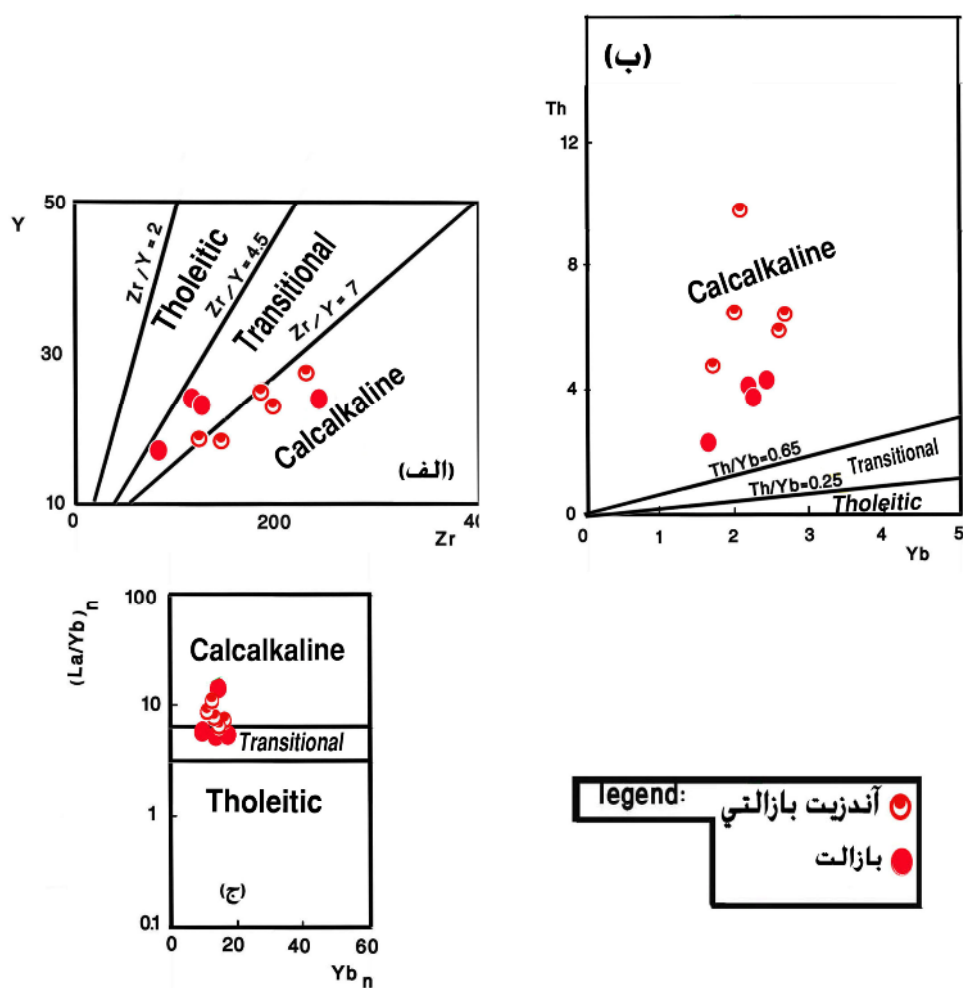
- ۱۱) دیده می‌شود که چند مورد از آن‌ها به شرح زیرند:
- ۱- در همه آن‌ها، جدایش مشخصی بین اجزای سنگین و سبک REE دیده می‌شود به نحوی که LREE‌ها بسیار غنی‌شده‌ترند (درجه جدایش REE که از نسبت به دست آمده بین ۷/۶ تا ۱۸/۷ تغییر می‌کند).
 - ۲- شب الگوهای REE در سمت LREE تندر و نزولی، ولی در سمت HREE‌ها تخت (flat) است.
 - ۳- HREE‌ها غالباً بیش از ده برابر از مقادیر کندریتی غنی‌شده‌ترند.
 - ۴- بی‌هنجری منفی Eu در همه دیده می‌شود (محاسبه بی‌هنجری Eu با استفاده از میانگین هندسی پیشنهاد شده توسط [۱۵] به دست آمده است. اگر عدد حاصله زیر یک باشد، بی‌هنجری منفی و بالای یک، مثبت خواهد بود). همه نمونه‌های آتشفشنای فاز دو از نظر Eu مقادیر زیر یک (اعداد بین ۰/۷۷ تا ۰/۹۸) را نشان می‌دهند.

سنگ‌های آتشفشنای فاز دوی پالئوزن منطقه مورد بررسی در قلمرو کالکوآلکالن و گاهی تحولی قرار می‌گیرند (شکل ۱۰-الف). همچنین، نسبت‌های Th/Yb و La/Yb می‌تواند متمایز‌کننده سری‌های کالکوآلکالن و تولئیتی باشد [۱۲]. این نسبت در سنگ‌های کالکوآلکالن بیش از ۰/۶۵، در سنگ‌های تولئیتی کمتر از ۰/۲۵ و در انواع دیگر بین آن دو است. نسبت-های عنصری La_N/Yb_N که به مقادیر کندریتی ارائه شده توسط [۱۳] بهنجار شده‌اند، در انواع کالکوآلکالن بالاتر از سری‌های تولئیتی است. داده‌های وابسته به سنگ‌های آتشفشنای فاز دوی پالئوزن منطقه غالباً در گستره کالکوآلکالن و بعضی نیز در قلمرو تحولی قرار می‌گیرند (شکل‌های ۱۰-ب و ۱۰-ج). بنابراین نتایج حاصل از عناصر اصلی (نمودارهای TAS و AFM) را تأیید می‌کنند.

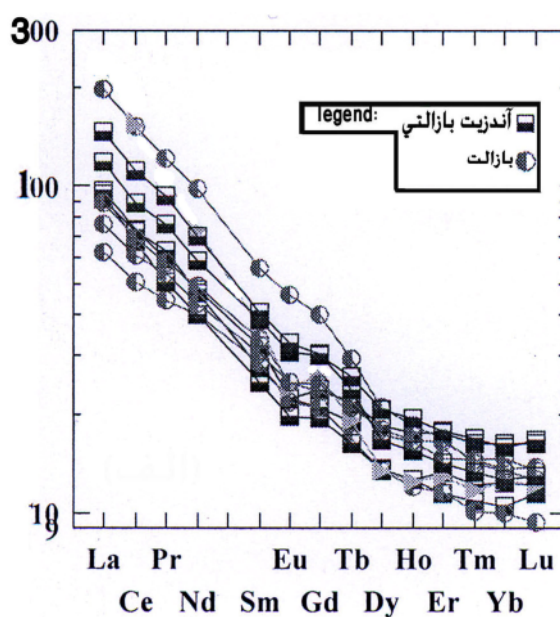
بررسی عناصر نادر خاکی نشان می‌دهد که مانستگی‌های زیادی بین الگوهای به دست آمده از عناصر نادر خاکی (REE) بهنجار شده به مقادیر کندریتی بر اساس داده‌های [۱۴] (شکل ۱۰) است.



شکل ۹ الف) تقسیم‌بندی سنگ‌های آتشفشنای فاز دو منطقه مورد مطالعه روی آن. منحنی‌ها، مرز جداکننده سنگ‌های آلکالن و ساب آلکالن و [۱۰] (مثلث توپر)، [۱۱] (مثلث توپر)، [۹] (دایره توپر)، [۱۰] (بعلاوه). ب) تفکیک سری سنگ‌های آلکالن و ساب آلکالن (تولئیتی و کالکوآلکالن) بر اساس AFM خط جداکننده از [۹].



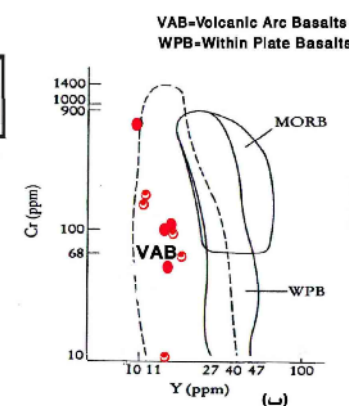
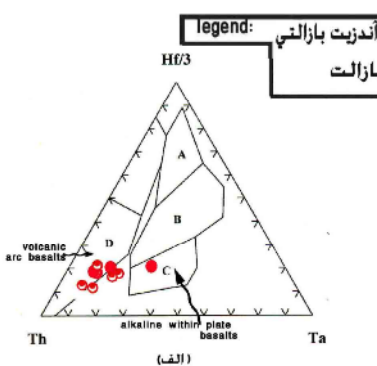
شکل ۱۰ داده‌های وابسته به سنگ‌های آتشفشاری فاز دوی پالئوزن روی نمودارهای (الف) Th-Yb، (ب) Y-Zr، (ج) $(La/Yb)_n$ -Yb_n



ناسازگارند. بنابراین جدا شدن فلدسپات از مذاب چه در اثر جدایش تفرق بلوری و چه به علت ذوب بخشی (که در آن فلدسپات در تفاله باقی می‌ماند)، باعث پیدایش بی‌هنجری منفی Eu در مذاب می‌شود. شواهد سنگ شناختی مقاطع سنگ‌های آتشفسانی فاز دوی پالئوژن در منطقه مورد بررسی نشان می‌دهد که فلدسپات جزء فازهای اصلی بیشتر این سنگ‌هاست. پس قاعده‌تاً جدایش بلوری فلدسپات نمی‌تواند عامل اصلی ایجاد بی‌هنجری منفی Eu در این سنگ‌ها باشد، بلکه تعادل مذاب با سنگ خاستگاه حاوی فلدسپات عامل اصلی این بی‌هنجری است.

داده‌های شیمیائی روی نمودارهای متمايز کننده محیط‌های زمین ساختی حکایت از وابستگی ماقمای تشکیل‌دهنده این سنگ‌ها به قوس‌های آتشفسانی قاره‌ای در ارتباط با فرورانش دارد. نمودارهایی که استفاده شده، بر پایه عناصر کمیاب غیرمحترک بنا نهاده شده است، به عنوان مثال نمودار Th-Hf-Ta [۱۹] (شکل ۱۲-الف). نسبت Th/Hf مربوط به سنگ‌های آتشفسانی فاز دوی پالئوژن منطقه دیلمان پائین‌تر از ۳ است، بنابراین جزء بازالت‌های کالکوآلکالن قوس‌های آتشفسانی محسوب می‌شوند. این داده‌ها روی نمودار Cr-Y [۲۰] نیز در گستره قوس‌های آتشفسانی قرار می‌گیرند (شکل ۱۲-ب).

بنابر بررسی انجام شده در منطقه بوزباشی چای در جنوب ناحیه مورد مطالعه و در کمریند البرز بخش طارم سفلی [۲۱]، همین سنگ‌ها ماهیت کالکوآلکالن داشته، ولی بیشتر پر پتاسیم و شوشاونیتی‌اند. نتیجه این کار پژوهشی، سنگ‌هایی داشتند که را به یک محیط فرورانش یا برخورد قاره‌ای حاصل از فرورانش نسبت داده است.



شکل ۱۱ الگوهای REE وابسته به سنگ‌های آتشفسانی فاز دوی پالئوژن که نسبت به مقادیر کندریتی بر اساس [۱۴] بهنجار شده‌اند. مانستگی‌های یاد شده دلالت بر هم خاستگاه بودن سنگ‌های آتشفسانی فاز دوی پالئوژن در منطقه مورد بررسی دارد. بنا به نظر [۱۶، ۱۷] جدایش LREE از HREE به صورت غنی‌شدگی LREE می‌تواند به دلیل تعادل مذاب با گارنت (به عنوان یک فاز تفاله‌ای در سنگ خاستگاه) باشد، ولی با توجه به اینکه اولاً فراوانی HREE بیش از ۵ برابر مقادیر کندریتی است، ثانیاً شبکه الگوهای REE به سمت HREE کم شده و تخت (flat) می‌شود، وجود گارنت در خاستگاه تأیید نمی‌شود. بررسی سنگ‌های منطقه Biharipur هندوستان نیز به الگوهای مشابهی دست یافته و تخت‌بودن سمت HREE الگوها را دلیل بر نبود هورنبلند و گارنت تفاله‌ای در خاستگاه دانسته است [۱۸]. یادآوری این نکته لازم است که ضریب توزیع گارنت در عناصر نادر خاکی به صورت افزایشی و نسبتاً یکنواخت از La به Yb حاصل شده است. بنابراین اگر قرار باشد که گارنت موجب جدایش اعضای REE از یکدیگر شود، نمی‌تواند الگوهای HREE تخت ایجاد کند. از طرف دیگر چگونه ممکن است گارنت در خاستگاه خود باشد و ضریب توزیع آن نیز نسبت به HREE‌ها بسیار بالاتر از یک باشد ولی با این حال منجر به غنی‌شدگی HREE (آن هم به مقدار بیش از ۵ برابر مقادیر کندریتی) شود. بنابراین در خاستگاه، گارنت باید وجود داشته باشد، بلکه باید حداقل الیوین و پیروکسن دیده شوند.

چنانکه گفته شد از جمله هماهنگی‌های دیگری که بین همه الگوها وجود دارد، بی‌هنجری منفی Eu است. بی‌هنجری منفی Eu اغلب به‌وسیله فلدسپات‌ها (به‌ویژه در ماقمای فلزیک) کنترل می‌شود، زیرا Eu^{2+} در پلازیوکلاز و فلدسپات پتاسیم سازگار است، در حالی که REE‌های سه‌ظرفیتی

شکل ۱۲ داده‌های وابسته به سنگ‌های آتشفسانی فاز دوی پالئوزن منطقه دیلمان روی نمودارهای: (الف) Th-Hf-Ta [۱۹] ، (ب) Cr-Y [۲۰]

- [6] Wolf J.A., Wright J.V., "Rheomorphism of welded tuffs", *J. Volcanol. Geotherm Res.*, (1981), v. 10, p. 13-34.
- [7] Deer W.A., Howie R.A., Zussmann J., "An introduction to rock-forming minerals", (1991) Longman, 528 p.
- [8] LeBas M.J., Le Maitre R.W., Strekeisen A., Zanettin B., "A chemical classification of volcanic rocks based on the total alkali – silica diagram", *J. Petrol.*, (1986), v. 27 , p. 745-750.
- [9] Kuno H., "Differentiation of basalt magmas", In : Hess H.H. and Poldervaart A .(eds.), *Basalts : The Poldervaart treatise on rocks of basaltic compositions*, vol. 2 , Interscience, New York, (1968), p.623-688.
- [10] Irvine T.N., Baragar W. R. A., "A guide to the chemical classification of the common volcanic rocks", *Can , J. Earth Sci.*, (1971), v.8, p. 523-548.
- [11] MacDonald G.A. and Katsura T., "Chemical composition of Hawaiian lavas", *J. Petrol.*, (1964), v.5.p.83-133.
- [12] Barrett T.J., MacLean W.H., "Chemostratigraphy and hydrothermal alteration in exploration for VHMS deposits in greenstones and younger volcanic rocks, in: Alteration and alteration processes", Lentz D.R. (ed.): Geological Association of Canada, Short Course Note 11, (1999), p. 433-467.
- [13] Sun S.S., McDonough W.F., "Chemical and isotopic systematic of oceanic basalts: implication for mantle composition and processes", In: Sunders A.D. and Norry M.J. (eds) magmatic in oceanic basins. *Geol. Soc. London. Spec. Publication* 42, (1989), p. 313-345.
- [14] McDonough W.F., Sun S.S., "Composition of the Earth", *Chemical Geology*, 120 (1995), 223-253.
- [15] Taylor S.R., McLennan S.M., "The continental crust: its composition and evolution", Blackwell, Oxford (1985).
- [16] Rollinson H.R., "Using geochemical data: evaluation, presentation, interpretation", Longman Scientific & Technical, (1993), 322 p.
- [17] Wilson M., "Igneous petrogenesis", Unwin Hyman, (1989), 421 p.

برداشت

بررسی سنگ‌های آتشفسانی فاز دوی پالئوزن منطقه دیلمان نشان می‌دهد که آن سنگ‌ها غالباً گدازه‌های بازیک و توفه‌های آندزیتی فوران یافته در یک محیط خشکی (بدون آب) هستند که خود از سه بخش (زیر واحد) جدا از هم تشکیل یافته‌اند که به ترتیب از قدیم به جدید عبارتند از:

- ۱- گدازه‌های بازالتی و آندزیت بازالتی (زیر واحد یک)
- ۲- توفه‌های درشت و ریز غالباً آندزیتی همراه لنزهای گدازه‌های عدسی با همین جنس (زیر واحد دو)
- ۳- توفه‌های آندزیتی (زیر واحد سه).

داده‌های شیمیائی عناصر اصلی و کمیاب حکایت از آن دارد که این گدازه‌ها و همچنین توف آندزیتی کوارتزدار زیر واحد سه، غالباً کالکوآلکالن بوده و بر روی نمودارهای متمایز کننده جایگاه زمین ساختی، در قلمرو قوس‌های آتشفسانی وابسته به فرورانش قرار دارند. الگوهای REE به دست آمده از این سنگ‌ها نیز یک خاستگاه مشترک فاقد گارنت ولی حاوی فلدسپات را برای آن‌ها پیشنهاد می‌کند.

مراجع

- [۱] آقاباتی ع، "زمین‌شناسی ایران"، وزارت صنایع و معادن، سازمان زمین‌شناسی و اکتشافات معدنی کشور (۱۳۸۵) ۶۱۹ صفحه.
- [۲] درویشزاده ع، "زمین‌شناسی ایران"، مؤسسه انتشارات امیرکبیر (۱۳۸۰) ۹۰۱ صفحه.
- [3] Annells R.N., Arthurton R.S., Bazley R.A., Davies R.G., "Explanatory text of the Qazvin and Rasht Quadrangle Map", *Geol. Surv. Iran*, (1975), 94 p.
- [4] Stalder P., "Magmatismes tertiaire et subrecent entre Taleghan et Alamout", Elbourz Central (Iran), Schweiz Min. Petr. Mitt., (1971), v. 51, No. 1, p. 2-138.
- [5] Henry C.D., Wolf J.A., "Distinguishing strongly rheomorphic tuffs from extensive silicic lavas", *Bull. Volcanol.* (1992), v. 54, p. 171-186.

- [18] Kaur P., Chaudhri N., Okrusch M., Koepke J., “*Paleoproterozoic A – type felsic magmatism in the Khetri copper belt, Rajasthan, northwestern India, petrologic and tectonic implication*”, Contr. Mineral. Petrol., (2006), v. 87, p. 81-122.

Thorpe R.S. (ed.), Andesites, Wiley Chichester, (1982), p. 525-548.

[۲۱] آسيابانها ع.، "زمين‌شناسي و پتروژنر رخساره‌های آتشفسانی منطقه يوزباشی‌چای (غرب قزوین)". رساله دکتری، دانشگاه تربیت مدرس، دانشکده علوم پایه، ۳۲۱(۱۳۸۰) صفحه.

[19] Wood D.A., "*The application of a Th-Hf-Ta diagram to problems of tectonomagmatic classification and to establishing the nature of crustal contamination of basaltic lavas of the British Tertiary volcanic province*", Earth Planet. Sci. Lett., (1980), v. 50, p. 11-30.

[20] Pearce J.A., "*Trace element characteristics of lavas from destructive plate boundaries*", In: